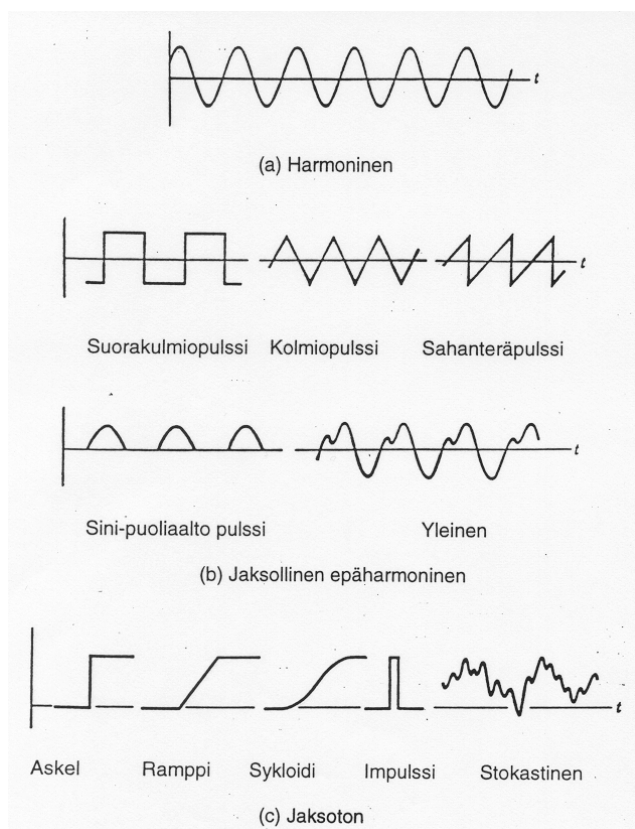


## 4 YHDEN VAPAUASASTEEN HARMONINEN PAKKOVÄRÄHTELY

### 4.1 Johdanto

Mekaanisen systeemin ulkoisista kuormituksista aiheutuvaa värähtelyä sanotaan pakkovärähtelyksi. Jos systeemissä on vaimennusta, on kyseessä vaimeneva pakkovärähtely, mutta muuten vaimenematon pakkovärähtely. Sitä osaa pakkovärähtelystä, joka häviää systeemistä lyhyen ajan kuluessa, sanotaan transientiksi. Transientin värähtelyn hävittyä jää jäljelle pysyvä värähtely.

Transienttia värähtelyä esiintyy iskukuormitusten, kappaleiden törmäysten ja liikkuvien kuormitusten yhteydessä. Syntyvä liike ei ole välttämättä jaksollista ja mahdolliset rakennevauriot johtuvat yleensä jonkin rakenneosan staattisen lujuuden ylityksestä.



Kuva 4.1 Herätefunktioita.

Pysyvä värähtely liittyy koneiden jatkuvaan käyttöön ja säilyy huomattavasti transienttia värähtelyä pitempiä aikoja. Syntyvät vauriot ovat väsymis- ja kulumisvaurioita.

Värähtelyanalyysissa sanotaan värähtelyn aiheuttajaa herätteeksi ja seurauksena olevaa systeemin liiketilaa (asema, nopeus, kiihtyvyys) vasteeksi. Tarkastelut voidaan jakaa osiin herätteen tyypin perusteella. Jos heräte on vailla mitään säännöllisyyttä, on kyseessä satunnaisheräte ja syntyvää liikettä sanotaan satunnaisvärähtelyksi eli stokastiseksi värähtelyksi. Jos heräte tunnetaan esimerkiksi ajan funktiona, se on deterministinen. Deterministinen heräte on jaksollinen, jos heräte toistuu säännöllisin välein samanaikaisena. Erityisen tärkeä jaksollinen

heräte on harmoninen heräte, jolloin kyseessä on sini- tai kosinimuotoinen herätevoiman vaihtelu. Kuvassa 4.1 on muutamia herätefunktioita, (a) on harmoninen heräte, kuvassa (b) on muita jaksollisia herätteitä ja kuvassa (c) jaksottomia herätteitä.

Tässä luvussa tarkastellaan yhden vapausasteen systeemin vastetta harmoniseen heräteeseen. Harmoniselle herätteelle on tyypillistä, että syntyvä pakkovärähtely tapahtuu samalla taajuudella kuin herätevoima vaihtelee. Tavallisia harmonisen he-

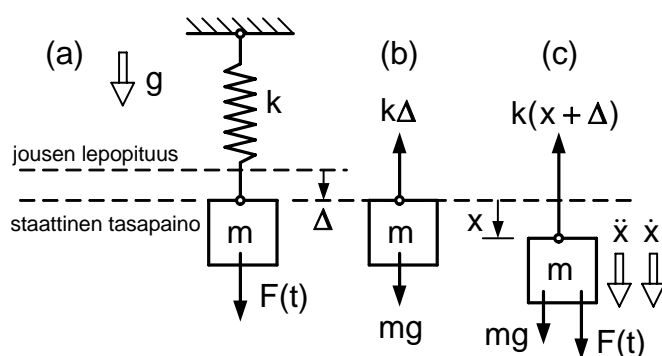
rätteen lähteitä ovat pyörivät ja edestakaisin liikkuvat koneenosat sekä itse koneen tai sen alustan liike. Syntyvät värähtelyt ovat yleensä koneen toiminnan kannalta haitallisia ja ainakin resonanssitilanne tulee useimmissa tapauksissa välttää. Tähän päästään värähtelyt huomioon ottavalla suunnittelulla sekä käyttämällä värähtelyn vaimennusta ja absorbointia.

Tarkkaan ottaen vaimenematonta pakkovärähtelyä ei käytännössä esiinny, mutta jos vaimennusvoimat ovat vähäisiä, kannattaa ne analysoida yksinkertaistamiseksi olettaa nolliksi. Seuraavassa tarkastellaan aluksi vaimenematonta harmonista pakkovärähtelyä, jolloin perusominaisuudet tulevat esille mahdollisimman yksinkertaisissa puitteissa ja tarkastelut voidaan sitten yleistää vaimenevaan värähtelyyn.

## 4.2 Vaimenematonta harmonista pakkovärähtelyä

### 4.2.1 Värähtelevä massa

Kuvassa 4.2 on lineaarisen yhden vapausasteen harmonisen pakkovärähtelijän perusmalli, jonka muodostavat



Kuva 4.2 Pakkovärähtelyn perusmalli.

rusmalli, jonka muodostavat jousi  $k$ , massa  $m$  ja siihen vaikuttava harmoninen pakkovoima  $F(t) = F_0 \sin \Omega t$ . Pakkovoiman lausekkeessa  $F_0$  on sen amplitudi ja  $\Omega$  kulmataajuus. Systeemin liikettä tutkitaan staattisesta tasapainoasemasta mitatun koordinaatin  $x$  avulla. Kuvan 4.2 (c) perusteella saadaan liikeyhtälö

$$\uparrow \quad k(x + \Delta) - mg - F(t) = -m\ddot{x} \quad (4.1)$$

josta seuraa yhteyden  $k\Delta = mg$  perusteella systeemin liikeyhtälöksi

$$m\ddot{x} + kx = F(t) = F_0 \sin \Omega t \quad (4.2)$$

Ottamalla huomioon systeemin ominaiskulmataajuuden määritelmä  $\omega^2 = k/m$  menee liikeyhtälö (4.2) muotoon

$$\ddot{x} + \omega^2 x = \frac{F_0}{m} \sin \Omega t \quad (4.3)$$

Liikkeyhtälön (4.3) yleinen ratkaisu on muotoa  $x = x_h + x_p$ , jossa  $x_h$  on homogeenisen yhtälön  $\ddot{x} + \omega^2 x = 0$  yleinen ratkaisu ja  $x_p$  täydellisen yhtälön (4.3) yksityisratkaisu. Kaavan (3.8) mukaan  $x_h$  on

$$x_h = A_1 \sin \omega t + A_2 \cos \omega t \quad (4.4)$$

jossa vakiot  $A_1$  ja  $A_2$  saadaan alkuehdoista. Yksityisratkaisu  $x_p$  on  $x_p = X \sin \Omega t$ , jossa  $X$  on vakio. Sijoittamalla yksityisratkaisu liikkeyhtälöön (4.3) saadaan

$$-X\Omega^2 \sin \Omega t + X\omega^2 \sin \Omega t = \frac{F_0}{m} \sin \Omega t \Rightarrow X = \frac{F_0/m}{\omega^2 - \Omega^2} \quad (4.5)$$

josta seuraa yksityisratkaisulle kaava

$$x_p = \frac{F_0/m}{\omega^2 - \Omega^2} \sin \Omega t \quad (\Omega \neq \omega) \quad (4.6)$$

Liikkeyhtälön (4.3) ratkaisu on siis

$$x(t) = A_1 \sin \omega t + A_2 \cos \omega t + \frac{F_0/m}{\omega^2 - \Omega^2} \sin \Omega t \quad (\Omega \neq \omega) \quad (4.7)$$

Kaava (4.6) ei ole voimassa, jos  $\Omega = \omega$ , jolloin toisaalta yksityisratkaisuyrite  $x_p = X \sin \Omega t$  sisältyy jo homogeenisen yhtälön yleiseen ratkaisuun (4.3). Oikea yksityisratkaisu tapauksessa  $\Omega = \omega$  on

$$x_p = \frac{F_0 \omega}{2k} t \sin \omega t \quad (\Omega = \omega) \quad (4.8)$$

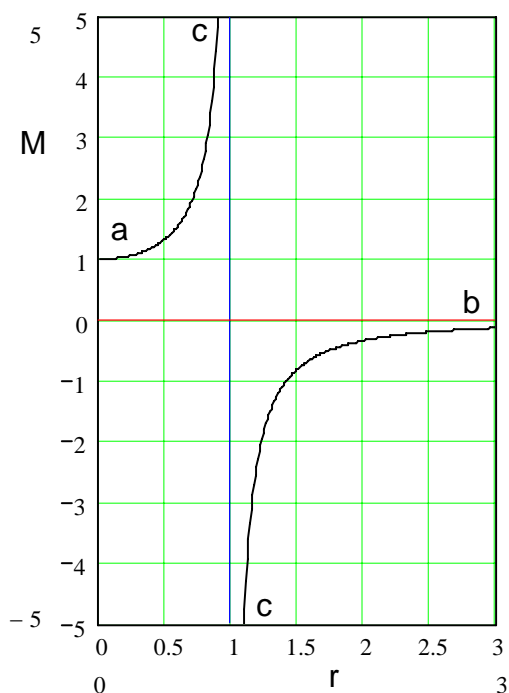
kuten helposti voidaan todeta sijoittamalla ratkaisu (4.8) liikkeyhtälöön (4.3). Ratkaisussa (4.7) osa  $x_h = A_1 \sin \omega t + A_2 \cos \omega t$  edustaa ominaisvärähtelyä, joka käytännössä vaimennuksen takia häviää systeemistä lyhyen ajan kuluessa. Pysyvää pakkovärähtelyä edustaa osa  $x_p$ , joka ei riipu systeemin alkuehdoista ja säilyy niin kauan, kun pakkovoima vaikuttaa. Kaavasta (4.6) näkyy, että pakkovärähtely tapahtuu samalla taajuudella kuin pakkovoima vaihtelee. Pakkovärähtelyn amplitudi  $X$  on

$$X = \frac{F_0/m}{\omega^2 - \Omega^2} \quad (4.9)$$

Kun otetaan huomioon yhteys  $m = k/\omega^2$  ja merkitään  $d = F_0/k$  ja  $r = \Omega/\omega$ , saa kaava (4.9) muodon

$$M = \frac{X}{d} = \frac{1}{1-r^2} \quad (4.10)$$

Suure  $d$  on pakkovoiman amplitudin aiheuttama jousen staattinen pituudenmuutos. Suuretta  $r$  sanotaan taajuussuhteeksi ja suuretta  $M$  vahvistuskertoimeksi.  $M$  kertoo



Kuva 4.3 Vahvistuskerroin.

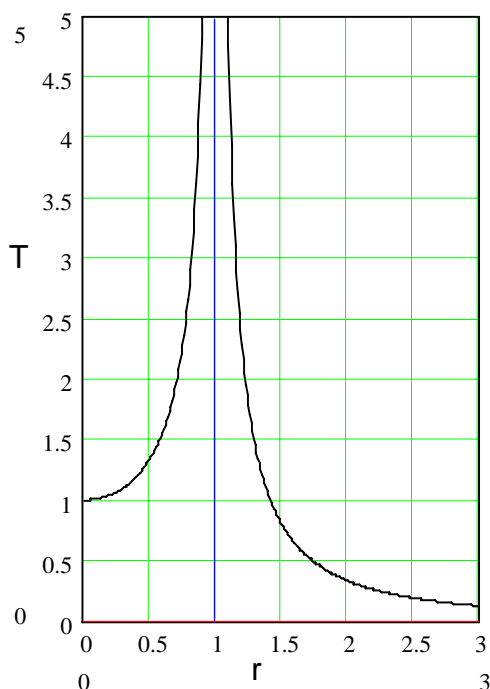
$\Omega \rightarrow \omega$ . Tätä tilannetta sanotaan resonanssiksi. Jos pakkovoiman taajuus on yhtä suuri kuin ominaiskulmataajuus eli  $\Omega = \omega$ , on voimassa yksityisratkaisu (4.8), josta nähdään, että  $x_p \rightarrow \infty$ , kun  $t \rightarrow \infty$ .

Edellä esitetyn perusteella on selvää, että harmoninen pakkovoima aiheuttaa värähtelyongelmia, jos sen kulmataajuus on sama kuin systeemin ominaiskulmataajuus tai lähellä sitä. Käytännössä värähtelyn amplitudi ei voi tulla äärettömäksi, vaan systeemi vaurioituu aikaisemmin liiallisen värähtelyn seurauksena. Suunnittelijan tehtävänä on valita systeemin parametrit  $k$  ja  $m$  niin, että se toimii riittävällä etäisyydellä resonanssikohtastaan. Tätä kutsutaan systeemin virittämiseksi.

Pakkovärähtelyssä olevan massan kiinnitysalustaansa aiheuttamia voimavaikutuksia ei yleensä pystytä kokonaan välttämään, mutta niitä voidaan huomattavasti pienentää oikealla joustavien kiinnityselementtien valinnalla. Jos alustaan siirtyvän voiman maksimiarvo on pienempi kuin värähtelyn aiheuttaneen pakkovoiman amplitudi, sanotaan kiinnityselementtejä värähtelyn eristimiksi. Värähtelyn eristyksen tehtävänä on estää värähtelevän kappaleen aiheuttamien voimien siirtymistä ympäristöön tai estää värähtelevän ympäristön aiheuttamien voimien siirtymistä herkkiin laitteisiin.

Ongelma on siis molemmissa tapauksissa sama, siirtyvä voima on saatava mahdollisimman pieneksi. Konetekniikassa värähtelyn eristin on tavallisesti toteutettu teräksen ja kumin yhdistelmänä, jolloin jousto tapahtuu kumiosassa ja teräsosa mahdollistaa kiinnityksen koneeseen ja alustaan.

Kuvan 4.2 mallissa alustaan siirtyvän voiman maksimiarvo on  $F_A = k X$ , jolle voidaan kaavan (4.9) avulla kirjoittaa



Kuva 4.4 Siirtyvyys.

$$F_A = k \frac{F_0/m}{\omega^2 - \Omega^2} = \frac{F_0}{1-r^2} \quad (4.11)$$

Värähtelyn siirtyvyys  $T$  määritellään seuraavasti

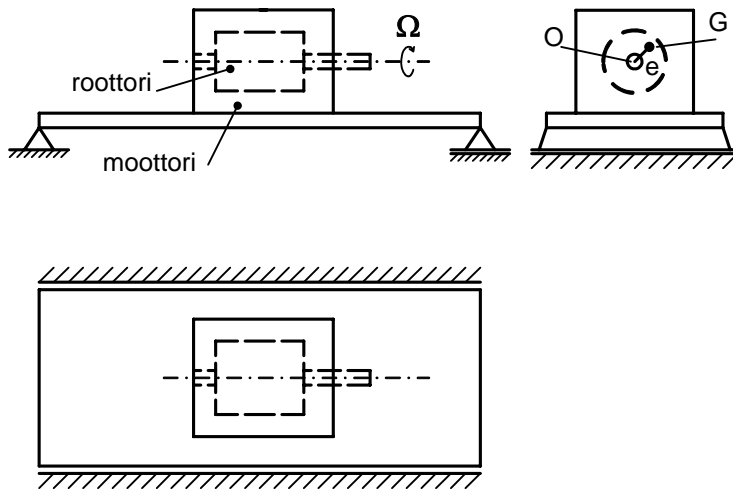
$$T = \left| \frac{F_A}{F_0} \right| = \frac{1}{|1-r^2|} \quad (4.12)$$

Siirtyvyys kertoo, kuinka suuri osa pakko-voimasta siirtyy jousen kautta alustaan. Kuvassa 4.4 on siirtyvyys  $T$  esitetty taajuussuhteen funktiona. Kuvaajasta nähdään, että  $T < 1$  vain, kun  $r > \sqrt{2}$ . Tällöin jousesta on hyötyä, koska se pienentää alustaan siirtyvän voiman maksimiarvoa, joka ilman joustaa olisi  $F_0$ . Alueessa  $r < \sqrt{2}$  on  $T > 1$  ja alustaan siirtyvän voiman maksimiarvo on suurempi kuin  $F_0$  ja jousen käytöstä on vain haittaa.

Edulliseen siirtyvyyteen päästään siis virittämällä systeemi niin, että se toimii kuvan 4.4 käyrällä ominaistajuuttaan vastaavan kohdan oikealla puolella riittävän kaukana. Näin viritettyjä systeemiä kutsutaan yliviritetyksi.

#### 4.2.2 Tasapainottamaton roottori

Harmonisesti vaihteleva pakkovoima voi esiintyä pyörivien koneenosien yhteydessä. Tarkastellaan kuvan 4.5 tapausta, jossa sähkömoottori on sijoitettu kaksitukiselle palkille. Jos moottorin roottoria ei ole täydellisesti tasapainotettu, on sen massakeskiöllä  $G$  epäkeskeisyys  $e$  akselin keskipisteeseen  $O$  nähden. Tästä aiheutuu moottorin käydessä säteen suuntainen pyörivä hitausvoima  $m_0 e \Omega^2$ , missä  $\Omega$  on akselin kulmanopeus ja  $m_0$  roottorin massa. Tämä voima välittyy laakereiden kautta moottorin runkoon ja siitä kiinnitysten kautta palkkiin. Hitausvoima  $m_0 e \Omega^2$  voidaan jakaa vaak- ja pystykomponentteihinsä. Jos palkin vaakaliike on estetty, on kyseessä yh-

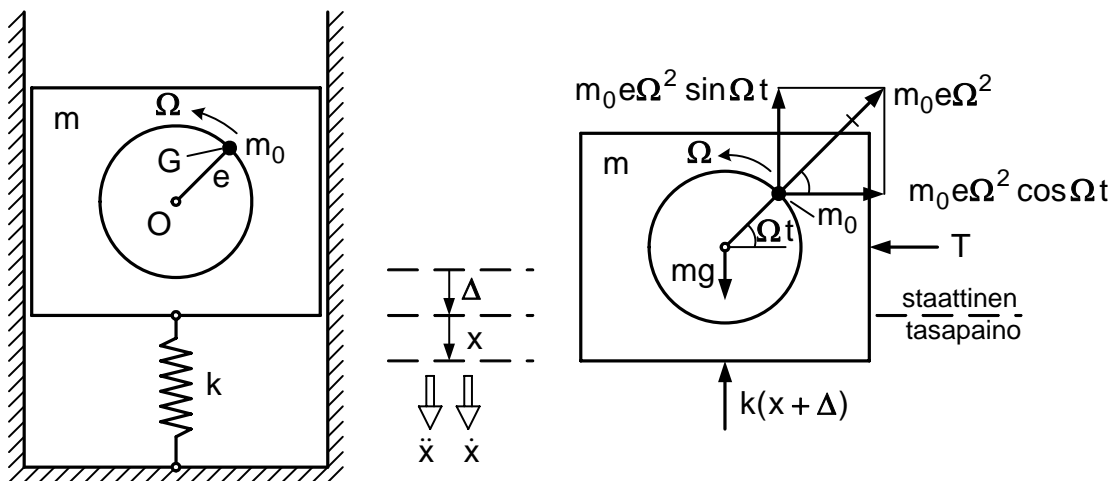


Kuva 4.5 Tasapainottamaton roottori.

$$\uparrow m\ddot{x} + kx = m_0e\Omega^2 \sin\Omega t$$

(4.13)

joka on samaa muotoa kuin yhtälö (4.2). On kuitenkin huomattava, että yhtälön (4.13) oikealla puolella oleva pakkovoiman amplitudi riippuu kulmataajuudesta, mikä ilmeisesti vaikuttaa saatavan ratkaisun luonteeseen. Liikesyhtälön (4.11) yksityisratkaisu



Kuva 4.6 Tasapainottamattoman roottorin laskentamalli.

saadaan ilmeisesti kaavasta (4.6) sijoittamalla amplitudin  $F_0$  paikalle lauseke  $m_0e\Omega^2$ , jolloin saadaan ratkaisu

$$x_p = \frac{m_0e\Omega^2}{m(\omega^2 - \Omega^2)} \sin\Omega t \quad (\Omega \neq \omega)$$

(4.14)

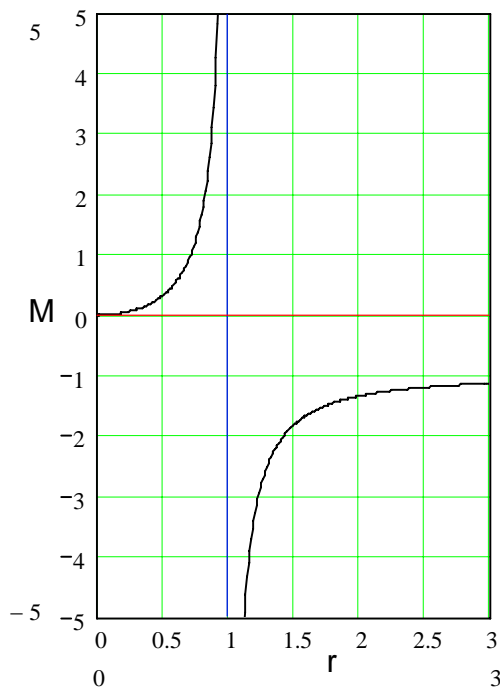
Pakkovärähtelyn amplitudi on siis tässä tapauksessa

$$X = \frac{m_0 e \Omega^2}{m(\omega^2 - \Omega^2)} \quad (4.15)$$

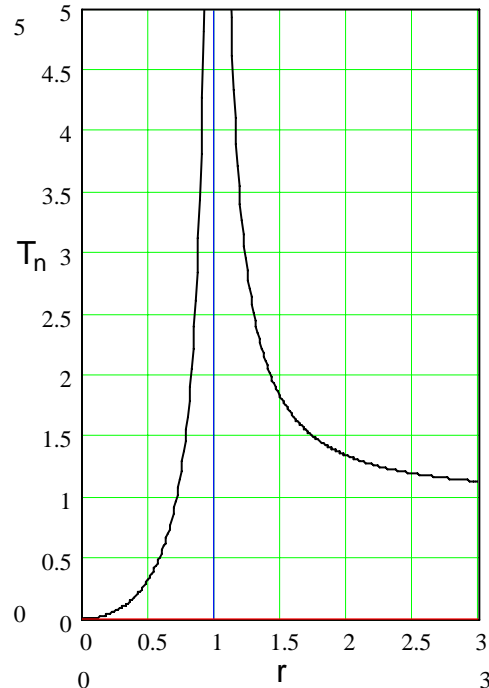
Dimensiotonta suuretta  $M = mX/(m_0 e)$  sanotaan systeemin vahvistuskertoimeksi. Sen lauseke on selvästi

$$M = \frac{mX}{m_0 e} = \frac{r^2}{1-r^2} \quad (4.16)$$

Kuvassa 4.7 on vahvistuskerroin  $M$  esitetty taajuussuhteen  $r$  funktiona. Pienillä pyörimisnopeuden  $\Omega$  arvoilla  $M \approx 0$  eli roottorin epätasapainon vaikutus on merkityksetön. Kun pyörimisen kulmataajuus  $\Omega \rightarrow \omega$ , amplitudi  $X \rightarrow \infty$ , mikä edustaa resonanssitilannetta. Suurilla kulmataajuuksilla  $\Omega \gg \omega$  on  $M \approx -1$  ja amplitudi  $X \rightarrow -(m_0/m)e$ . Tällä alueella on värähtelyn amplitudia siis mahdollista pienentää tekemällä koneen rungosta raskas esimerkiksi betonista tehtyjä painoja lisäämällä.



Kuva 4.7 Vahvistuskerroin.



Kuva 4.8 Siirtyvyys.

Tarkastellaan sitten pakkovoiman siirtyvyyttä alustaan kuvan 4.6 mallissa. Alustaan siirtyvän voiman maksimiarvoksi saadaan kaavan (4.15) perusteella

$$F_A = kX = \omega^2 \frac{m_0 e \Omega^2}{(\omega^2 - \Omega^2)} = F_n \frac{r^2}{1-r^2} \quad (4.17)$$

jossa  $F_n = m_0 e \omega^2$  on ominaiskulmataajuutta  $\omega$  vastaava pakkovoiman amplitudi.

Siirtyvyys  $T_n = |F_A / F_n|$  on siis tässä tapauksessa

$$T_n = \left| \frac{F_A}{F_n} \right| = \frac{r^2}{|1-r^2|} \quad (4.18)$$

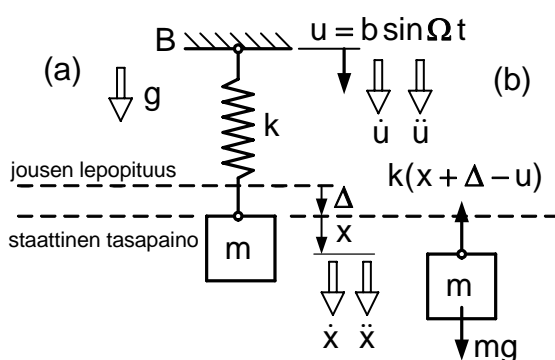
Kuvassa 4.8 on siirtyvyys  $T_n$  esitetty taajuussuhteen funktiona. Resonanssialueella alustaan siirtyvä voima on hyvin suuri. Suurilla pyörimisnopeuden arvoilla  $T_n \rightarrow 1$  eli alustaan siirtyvän voiman arvo lähestyy arvoa  $F_n$ , joka on ominaiskulmataajuutta  $\omega$  vastaava pakkovoiman amplitudi.

Alustaan siirtyvän maksimivoiman  $F_A$  lauseke voidaan kirjoittaa myös muotoon

$$F_A = k \frac{m_0 e \Omega^2}{m(\omega^2 - \Omega^2)} = \frac{m_0 e \Omega^2}{1 - (\Omega/\omega)^2} = \frac{F_{\max}}{1 - r^2} \quad (4.19)$$

jossa  $F_{\max} = m_0 e \Omega^2$  on kulmanopeutta  $\Omega$  vastaavan pakkovoiman amplitudi. On selvää, että  $|F_A / F_{\max}| = T$ , jossa  $T$  on kuvassa 4.4 esitetty siirtyvyys. Kuva 4.4 ei anna oikeaa yleiskuvaa siirtyvän voiman suuruudesta, koska  $F_{\max}$  kasvaa kulmanopeuden kasvaessa, eli suure, johon alustaan siirtyvää voimaa verrataan, ei ole vakio. Kuvasta 4.4 syntyy helposti se väärä käsitys, että siirtyvä voima lähestyy nollaa kulmanopeuden  $\Omega$  kasvaessa, mikä ei tietenkään pidä paikkaansa.

### 4.2.3 Värähtelevä alusta



Kuva 4.9 Värähtelevän alustan laskentamalli.

Tarkastellaan pakkovärähtelyä, joka aiheutuu kappaleen alustan liikkeestä. Tällaisen värähtelijän perusmalli on esitetty kuvassa 4.9. Malli sisältää jousen, massan ja liikkuvan alustan B. Jousi on kiinnitetty alustaan B, joka värähtelee harmonisesti funktion  $u(t) = b \sin \Omega t$  mukaisesti. Liikettä kuvaa staattisesta tasapainoasemasta ( $\Delta, u = 0$ ) mitattu koordinaatti  $x$ , joka ilmaisee massan absoluuttisen aseman. Systemin liikeyhtälöksi saadaan kuvasta 4.9 (b)

$$m \ddot{x} + k x = k b \sin \Omega t \quad (4.20)$$

Yhtälö (4.20) on samaa muotoa kuin yhtälö (4.2), mutta amplitudin  $F_0$  paikalla on termi  $k b$ . Pakkovärähtelyn lauseke on kaavan (4.6) perusteella



$$x_p = \frac{kb/m}{\omega^2 - \Omega^2} \sin \Omega t = \frac{b}{1 - (\Omega/\omega)^2} \sin \Omega t \quad (\Omega \neq \omega) \quad (4.21)$$

josta nähdään, että amplitudin  $X$  ja vahvistuskertoimen  $M = X/b$  lausekkeet ovat

$$X = \frac{b}{1-r^2} \quad M = \frac{1}{1-r^2} \quad (4.22)$$

Vahvistuskerroin on tässä tapauksessa sama kuin kaavan (4.10) vahvistuskerroin ja on siis esitetty kuvassa 4.3.

Massan  $m$  liikettä voidaan tutkia myös alustan suhteen käyttämällä suhteellista koordinaattia  $z = x - u$ . Sijoittamalla liikeyhtälöön (4.20)  $\ddot{x} = \ddot{z} + \ddot{u}$  ja  $x = z + u$  saadaan suhteellisen koordinaatin  $z$  avulla lausuttu liikeyhtälö

$$m\ddot{z} + kz = mb\Omega^2 \sin \Omega t \quad (4.23)$$

Yhtälö (4.23) on samaa muotoa kuin roottorin liikeyhtälö (4.13), termin  $m_0 e \Omega^2$  paikalla on termi  $mb\Omega^2$ . Pakkovärähtelyn suhteellinen amplitudi  $Z$  ja vahvistuskerroin  $M = Z/b$  ovat siis

$$Z = \frac{b\Omega^2}{\omega^2 - \Omega^2} \quad M = \frac{r^2}{1-r^2} \quad (4.24)$$

Edellä oleva suhteellinen vahvistuskerroin on sama kuin roottoritapauksen kaavassa (4.16) ja on siis esitetty kuvassa 4.7.

Värähtelevän alustan tapauksessa ollaan kiinnostuneita alustasta massa  $m$  siirtyvän voiman maksimiarvosta  $F_M$ , mikä on vapaakappalekuvan 4.9 (b) perusteella

$$F_M = k(X - b) = kZ = k \frac{b\Omega^2}{\omega^2 - \Omega^2} = kb \frac{r^2}{1-r^2} \quad (4.25)$$

jossa  $F_K = kb$  on alustan maksimi siirtymää vastaava jousivoima. Nähdään, että siirtyvyys  $T_n = |F_M / F_K|$  on

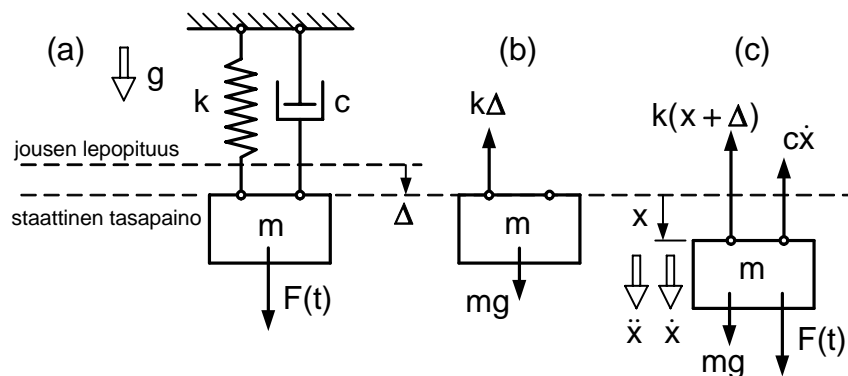
$$T_n = \left| \frac{F_M}{F_K} \right| = \left| \frac{r^2}{1-r^2} \right| \quad (4.26)$$

joka on sama lauseke kuin kaavassa (4.16) ja kuvassa 4.8 esitetty siirtyvyys. Koska  $\omega^2 = k/m$ , nähdään kaavasta (4.25), että jousivakion  $k$  pienentäminen pienentää yliviritetyn systeemin siirtyvyyttä.

### 4.3 Viskoosisti vaimeneva harmoninen pakkovärähtely

#### 4.3.1 Värähtelevä massa

Kuvassa 4.10 on viskoosisti vaimennetun yhden vapausasteen harmonisen pakkovärähtelijän perusmalli. Siihen kuuluu jousi  $k$ , massa  $m$ , vaimennin  $c$  ja massaan vaikuttava pakkovoima  $F(t) = F_0 \sin \Omega t$ . Kuvasta 4.10 (c) saadaan liikeyhtälö



Kuva 4.10 Viskoosisti vaimennettu värähtelijä.

$$\uparrow k(x + \Delta) - mg + c\dot{x} - F(t) = -m\ddot{x} \quad (4.27)$$

Tästä seuraa edelleen

$$m\ddot{x} + c\dot{x} + kx = F(t) = F_0 \sin \Omega t \quad (4.28)$$

Ottamalla huomioon ominaiskulmataajuuden  $\omega$  ja vaimennussuhteen  $\zeta$  määritelmät saadaan yhtälö (4.28) kirjoitettua standardimuotoon

$$\ddot{x} + 2\zeta\omega\dot{x} + \omega^2 x = \frac{F_0}{m} \sin \Omega t \quad (4.29)$$

Yhtälön (4.29) yleinen ratkaisu on muotoa  $x = x_h + x_p$ , jossa  $x_h$  on homogeenisen yhtälön  $\ddot{x} + 2\zeta\omega\dot{x} + \omega^2 x = 0$  yleinen ratkaisu ja  $x_p$  täydellisen yhtälön (4.29) yksityisratkaisu. Ratkaisun osa  $x_h$  on kaavan (3.43) mukaan alikriittiselle vaimennukselle

$$x_h = Ce^{-\zeta\omega t} \sin(\omega_d t + \psi) \quad (4.30)$$

$x_h$  edustaa ominaisvärähtelyä, joka häviää vaimennuksen ansiosta nopeasti. Pakkovärähtelyä edustaa yksityisratkaisu  $x_p$ , joten vain sen tarkastelu on tässä aiheellista. Yksityisratkaisu voidaan tässä tapauksessa löytää yritefunktiolla

$$x_p = A_1 \sin \Omega t + A_2 \cos \Omega t \quad \text{tai} \quad x_p = X \sin(\Omega t - \phi) \quad (4.31)$$

jossa  $A_1$  ja  $A_2$  sekä  $X$  ja  $\phi$  ovat vakioita. Yritteistä jälkimmäinen on hieman kätevämpi, joten käytetään sitä. Vakiot  $X$  ja  $\phi$  voidaan määrittää sijoittamalla yrite  $x_p$  liikeyhtälöön (4.29). Nopeudelle ja kiihtyvyydelle tulee derivoimalla lausekkeet

$$\dot{x}_p = \Omega X \cos(\Omega t - \phi) \quad \ddot{x}_p = -\Omega^2 X \sin(\Omega t - \phi) \quad (4.32)$$

joten sijoitus liikeyhtälöön (4.29) antaa aluksi

$$-(\Omega^2 - \omega^2) X \sin(\Omega t - \phi) + 2\zeta \omega \Omega X \cos(\Omega t - \phi) = \frac{F_0}{m} \sin \Omega t \quad (4.33)$$

Käyttämällä kaavassa (4.33) sinin ja kosinin vähennyslaskukaavoja saadaan

$$\begin{aligned} &-(\Omega^2 - \omega^2) X (\sin \Omega t \cos \phi - \cos \Omega t \sin \phi) + \\ &+ 2\zeta \omega \Omega X (\cos \Omega t \cos \phi + \sin \Omega t \sin \phi) = \frac{F_0}{m} \sin \Omega t \end{aligned} \quad (4.34)$$

Merkitsemällä yhtälön (4.34) eri puolilla esiintyvien termien  $\sin \Omega t$  ja  $\cos \Omega t$  kertoimet puolittain samoiksi saadaan yhtälöpari

$$(\omega^2 - \Omega^2) X \cos \phi + 2\zeta \omega \Omega X \sin \phi = \frac{F_0}{m} \quad (\omega^2 - \Omega^2) X \sin \phi - 2\zeta \omega \Omega X \cos \phi = 0 \quad (4.35)$$

josta saadaan ratkaistua yksityisratkaisussa  $x_p$  olevat vakiot  $X$  ja  $\phi$ . Tulos on (todistus sivuutetaan)

$$X = \frac{F_0/k}{\sqrt{\left(1 - \frac{\Omega^2}{\omega^2}\right)^2 + \left(2\zeta \frac{\Omega}{\omega}\right)^2}} \quad \phi = \arctan \left( \frac{2\zeta \frac{\Omega}{\omega}}{1 - \frac{\Omega^2}{\omega^2}} \right) \quad (4.36)$$

Vakiot  $X$  ja  $\phi$  ovat pakkovärähtelyn  $x_p = X \sin(\Omega t - \phi)$  amplitudi ja vaihekulma. Kun merkitään jälleen  $d = F_0/k$  ja  $r = \Omega/\omega$ , saadaan vahvistuskertoimelle  $M$  ja vaihekulmalle  $\phi$  kaavat

$$M = \frac{X}{d} = \frac{1}{\sqrt{(1-r^2)^2 + (2\zeta r)^2}} \quad \phi = \arctan \left( \frac{2\zeta r}{1-r^2} \right) \quad (4.37)$$

Liikyehtälön (4.29) ratkaisu on edellä olevan perusteella alikriittiselle vaimennukselle

$$x(t) = C e^{-\zeta \omega t} \sin(\omega_d t + \psi) + X \sin(\Omega t - \phi) \quad (4.38)$$

jossa vakiot  $X$  ja  $\phi$  saadaan kaavasta (4.36). Vakiot  $C$  ja  $\psi$  määräytyvät pakkovärähtelijän alkuehdoista (alkuasema ja -nopeus), mutta eivät ole kaavan (3.44) mukaiset, sillä yksityisratkaisu  $x_p$  vaikuttaa myös niiden arvoihin.

Kuvassa 4.11 on kaavan (4.37) vahvistuskertoimen  $M$  ja vaihekulman  $\phi$  kuvaajia taajuussuhteen  $r$  funktiona muutamilla vaimennussuhteen  $\zeta$  arvoilla. Vahvistuskertoimen  $M$  käyrästöstä nähdään, että kaikki käyrät ovat nollavaimennusta vastaavan käyrän alapuolella. Vaimennus pienentää pakkovärähtelyn amplitudia ja erityisesti resonanssin läheisyydessä pieneneminen on voimakasta. Nähdään, että käyrien maksimit eivät ole kohdassa  $\Omega = \omega$ , eivätkä kohdassa  $\Omega = \omega_d = \omega \sqrt{1 - \zeta^2}$ , vaan hieman tämän vasemmalla puolella kohdassa  $\Omega = \omega_r = \omega \sqrt{1 - 2\zeta^2}$ , kuten kaavasta (4.37) voidaan todeta etsimällä vahvistuskertoimen  $M$  derivaatan nollakohta. Arvoa  $\omega_r$  sanotaan resonanssikulmataajuudeksi. Vaimenevalla värähtelyllä ovat ominaiskulmataajuus  $\omega$ , vaimennettu ominaiskulmataajuus  $\omega_d$  ja resonanssikulmataajuus  $\omega_r$  erisuuria. Jos vaimennussuhde  $\zeta$  on pieni, ovat ne kuitenkin hyvin lähellä toisiaan ja rajatapauksessa  $\zeta = 0$  ne ovat samat. Maksimiampitudiksi kohdassa  $\Omega = \omega_r$  tulee

$$X_{\max} = \frac{F_0/k}{2\zeta \sqrt{1 - \zeta^2}} \quad (4.39)$$

joka on lähes sama kuin ominaiskulmataajuutta  $\omega$  vastaava amplitudi, joka on

$$X_\omega = \frac{F_0/k}{2\zeta} \quad (4.40)$$

Usein ominaiskulmataajuutta  $\omega$  sanotaan resonanssikulmataajuudeksi, koska ero on käytännössä pieni. Vaihekulman  $\phi$  käyrästöstä nähdään, että vaimenemattomassa tapauksessa  $\zeta = 0$  vaihekulma  $\phi = 0^\circ$  resonanssin alapuolella ja  $\phi = 180^\circ$  resonanssin yläpuolella, jolloin voima ja siirtymä ovat vastaavasti samassa tai vastakkaisessa vaiheessa. Kun  $\Omega = \omega$ , on  $\phi = 90^\circ$  riippumatta vaimennussuhteen  $\zeta$  arvosta.

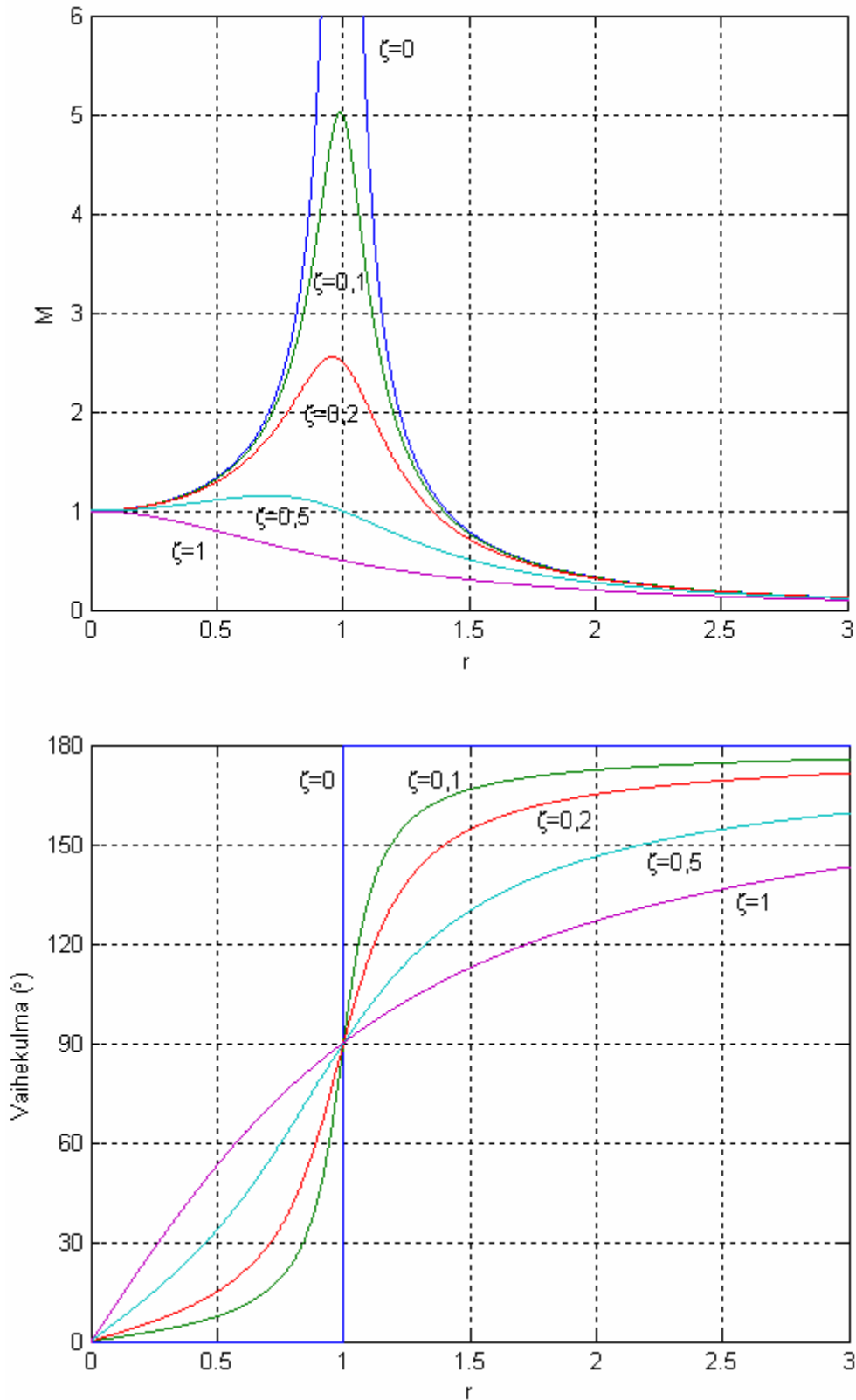
Tarkastellaan voimaa, joka kuvan 4.10 laskentamallissa siirtyy värähtelyn aikana alustaan pakkovoiman vaikutuksesta. Tämän voiman lauseke on kuvan 4.10 (c) ja kaavojen (4.31) ja (4.32) perusteella

$$F_a(t) = k x_p + c \dot{x}_p = k X \sin(\Omega t - \phi) + c \Omega X \cos(\Omega t - \phi) \quad (4.41)$$

Voidaan helposti osoittaa, että voiman  $F_a(t)$  suurin arvo on

$$F_A = \sqrt{(kX)^2 + (c\Omega X)^2} = kX\sqrt{1 + (2\zeta\Omega/\omega)^2} \quad (4.42)$$

jossa amplitudi  $X$  saadaan kaavasta (4.36). Nähdään, että pakkovärähtelyn siirtävyy-

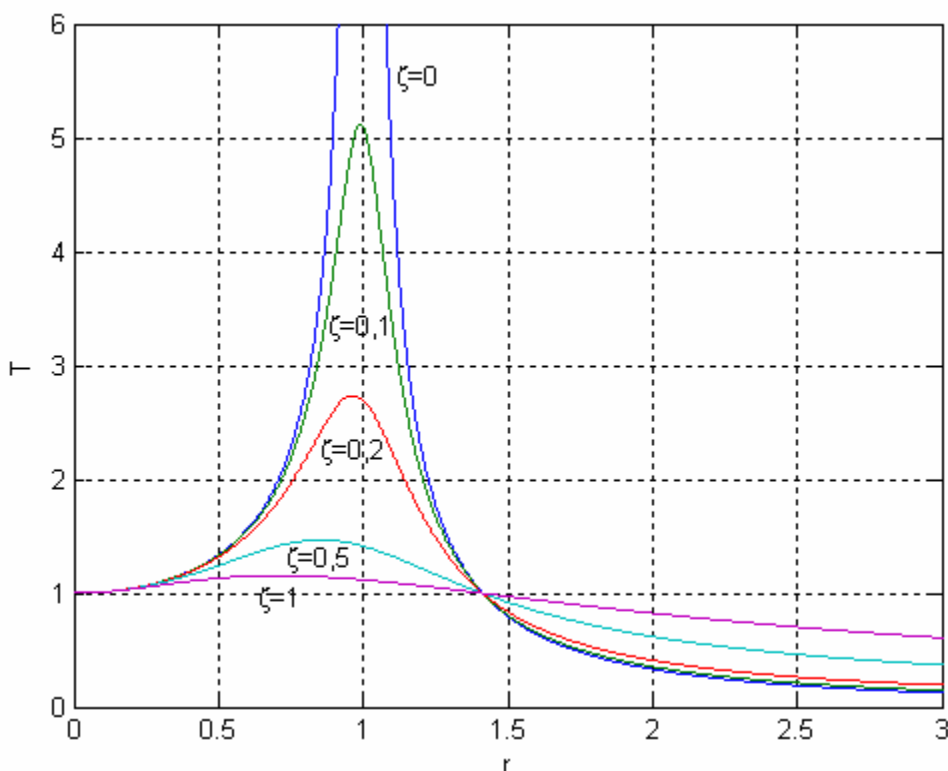


Kuva 4.11 Vahvistuskertoin ja vaihekulma.

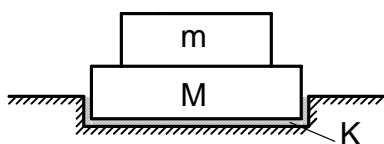
deksi  $T = |F_A / F_0|$  tulee lauseke

$$T = \left| \frac{F_A}{F_0} \right| = \sqrt{\frac{1 + (2\zeta r)^2}{(1 - r^2)^2 + (2\zeta r)^2}} \quad (4.43)$$

Siirtyvyys  $T$  on esitetty kuvassa 4.12 taajuussuhteen  $r$  funktiona muutamalla vaimennussuhteen  $\zeta$  arvoilla. Kuvasta 4.12 nähdään, että  $T > 1$  alueella  $r < \sqrt{2}$  kaikilla vaimennussuhteen  $\zeta$  arvoilla, jolloin jousen käyttö suurentaa alustaan siirtyvää voimaa. Alueessa  $r > \sqrt{2}$  on  $T < 1$ , ja jousen käyttö pienentää alustaan siirtyvää voimaa. Huomataan myös, että alueessa  $r > \sqrt{2}$  vaimennuksen lisääminen suurentaa alustaan siirtyvää voimaa, sillä käyrät menevät kohdassa  $r = \sqrt{2}$  ristiin.



Kuva 4.12 Vaimenevan pakkovärähtelyn siirtyvyys.



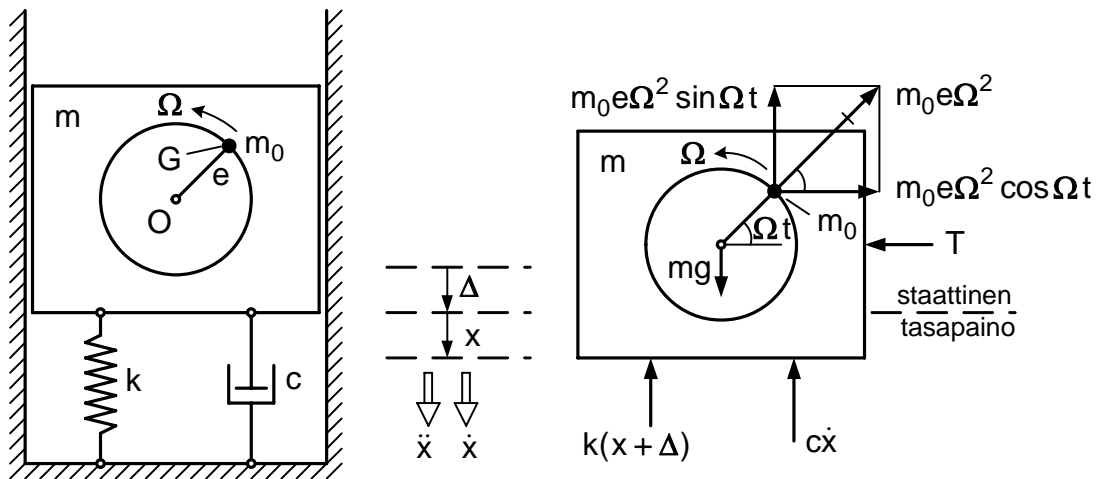
Kuva 4.13 Järjestely.

Kuvan 4.10 värähtelijän amplitudia  $X$  voidaan pienentää muuttamatta värähtelyn siirtyvyyttä  $T$  käyttämällä kuvan 4.13 mukaista järjestelyä. Siinä massa  $m$  on kiinnitetty suureen lisämassaan  $M$  ja jousivakio  $K$  valitaan siten, että  $k/m = K/(m+M)$ . Tällöin  $\omega$  säilyy muuttumattomana ja myös  $T$  pysyy samana, kun vaimennusta  $\zeta$  ei muuteta. Amplitudi  $X$  sen sijaan pienenee, koska jousivakio on sen lausekkeessa (4.36) nimittäjässä.

### 4.3.2 Tasapainottamaton roottori

Kuten kohdassa 4.2.2 tuli esille, aiheuttaa pyörivien koneenosien epätasapaino pakkovoimia. Tarkastellaan kuvassa 4.14 esitettyä laskentamallia, joka on muuten samanlainen kuin kuvan 4.6 malli, mutta sisältää lisäksi viskoosin vaimentimen. Massan vaakasuuntainen liike on estetty, jolloin se voi värähdellä vain pystysuunnassa. Roottorin epätasapainosta aiheutuu säteittäinen pyörivä hitausvoima  $m_0 e \Omega^2$ , jonka pystysuuntainen komponentti  $m_0 e \Omega^2 \sin \Omega t$  aiheuttaa pystysuuntaisen pakkovärähtelyn. On selvää, että liikeyhtälöksi tulee pystysuunnassa

$$m\ddot{x} + c\dot{x} + kx = m_0 e \Omega^2 \sin \Omega t \quad (4.44)$$



Kuva 4.14 Vaimennettu roottorivärähtely.

Yhtälö (4.44) on samaa muotoa kuin yhtälö (4.26), mutta amplitudin  $F_0$  paikalla on pakkovoiman taajuudesta riippuva termi  $m_0 e \Omega^2$ . Tästä seuraa kaavojen (4.36) mukaan pakkovärähtelyn  $x_p = X \sin(\Omega t - \phi)$  amplitudille  $X$  ja vaihekulmalle  $\phi$  kaavat

$$X = \frac{m_0 e \Omega^2 / k}{\sqrt{\left(1 - \frac{\Omega^2}{\omega^2}\right)^2 + \left(2\zeta \frac{\Omega}{\omega}\right)^2}} \quad \phi = \arctan \left( \frac{2\zeta \frac{\Omega}{\omega}}{1 - \frac{\Omega^2}{\omega^2}} \right) \quad (4.45)$$

Kun merkitään jälleen  $r = \Omega / \omega$ , saadaan vahvistuskertoimelle  $M$  ja vaihekulmalle  $\phi$  seuraavat kaavat

$$M = \frac{mX}{m_0 e} = \frac{r^2}{\sqrt{(1-r^2)^2 + (2\zeta r)^2}} \quad \phi = \arctan\left(\frac{2\zeta r}{1-r^2}\right) \quad (4.46)$$

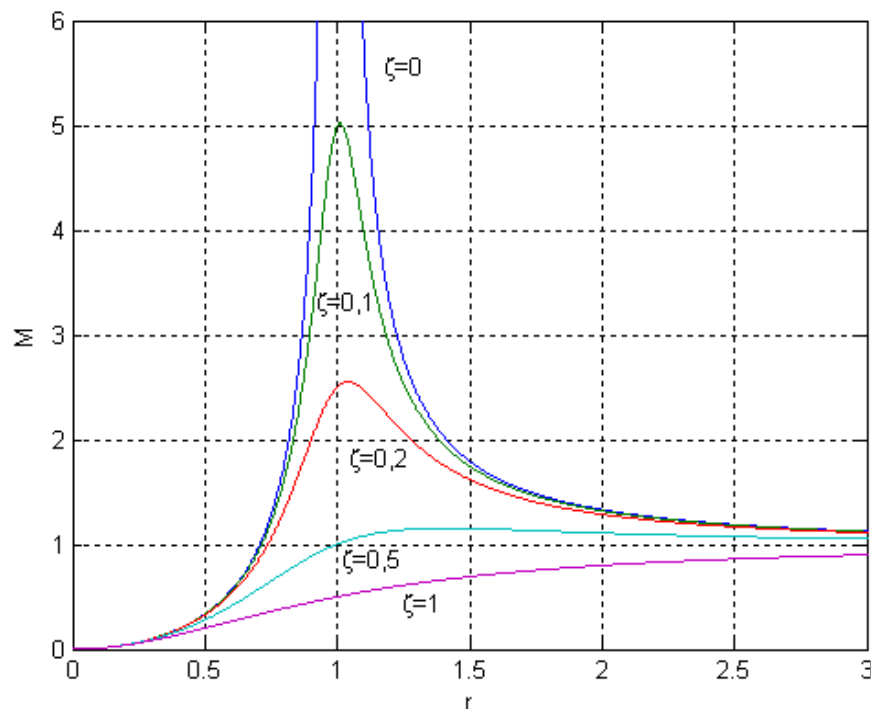
Kaavan (4.46) vahvistuskerroin  $M$  on esitetty kuvassa 4.15 taajuussuhteen  $r$  funktiona eri vaimennussuhteen  $\zeta$  arvoilla. Vaihekulman  $\phi$  lauseke on sama kuin kaavassa (4.37), joten se on esitetty kuvassa 4.11. Vahvistuskertoimen  $M$  käyrästöstä nähdään, että käyrien maksimit eivät ole kohdassa  $\Omega = \omega$ , vaan hieman sen oikealla puolella. Voidaan osoittaa, että resonanssikulmataajuus on  $\omega_r = \omega / (\sqrt{1-2\zeta^2})$  ja maksimiampitudille  $X_{\max}$  pätee kaava

$$X_{\max} = \frac{m_0 e}{m} \frac{1}{2\zeta \sqrt{1-\zeta^2}} \quad (4.47)$$

Ominaiskulmataajuutta  $\omega$  vastaava amplitudi on

$$X_{\omega} = \frac{m_0 e}{m} \frac{1}{2\zeta} \quad (4.48)$$

joka eroaa pienellä vaimennuksella vähän arvosta  $X_{\max}$ . Samoin resonanssitaajuus  $\omega_r$  eroaa pienellä vaimennuksella vähän ominaiskulmataajuudesta  $\omega$ , jota siksi sanotaan myös resonanssitaajuudeksi. Amplitudi  $X$  on pienillä pyörimisnopeuksilla lä-



Kuva 4.15 Vahvistuskerroin.



hellä nollassa ja suurilla pyörimisnopeuksilla  $X \rightarrow (m_0/m)e$  vaimennussuhteesta riippumatta. Resonanssin läheisyydessä vaimennus pienentää tehokkaasti amplitudia.

Tutkitaan siirtyvyyttä kuvan (4.14) laskentamallin tapauksessa. Alustaan siirtyvän voiman maksimiarvo  $F_A$  on kaavan (4.42) mukainen ja siinä oleva amplitudi  $X$  saadaan kaavasta (4.45). Näistä seuraa

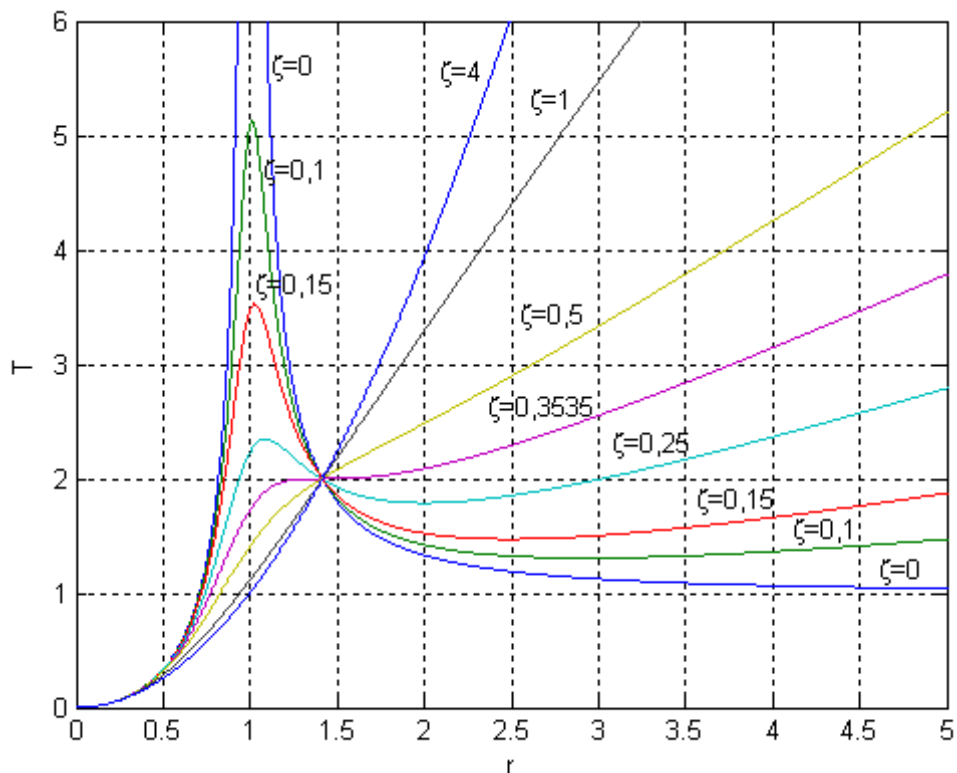
$$F_A = kX\sqrt{1+(2\zeta\Omega/\omega)^2} = k\frac{m_0e}{m}\frac{(\Omega/\omega)^2}{\sqrt{[1-(\Omega/\omega)^2]^2+(2\zeta\Omega/\omega)^2}}\sqrt{1+(2\zeta\Omega/\omega)^2} \Rightarrow$$

$$F_A = m_0e\omega^2\left(\frac{\Omega}{\omega}\right)^2\sqrt{\frac{1+(2\zeta\Omega/\omega)^2}{[1-(\Omega/\omega)^2]^2+(2\zeta\Omega/\omega)^2}} = F_n r^2\sqrt{\frac{1+(2\zeta r)^2}{(1-r^2)^2+(2\zeta r)^2}} \quad (4.49)$$

jossa on merkitty  $F_n = m_0e\omega^2$ , joka on ominaiskulmataajuutta  $\omega$  vastaavan pakko-voiman amplitudi. Pakkovärähtelyn siirtyvyydeksi  $T_n = |F_A/F_n|$  tulee

$$T_n = \left|\frac{F_A}{F_n}\right| = r^2\sqrt{\frac{1+(2\zeta r)^2}{(1-r^2)^2+(2\zeta r)^2}} \quad (4.50)$$

Kaavan (4.50) siirtyvyys  $T_n$  on esitetty kuvassa 4.16 taajuussuhteen  $r$  funktiona



Kuva 4.16 Siirtyvyys.

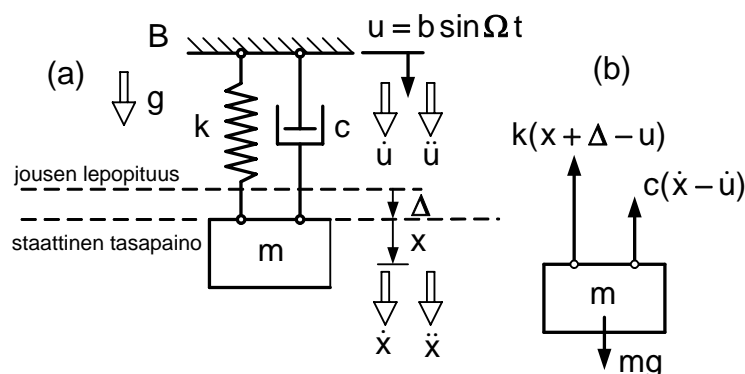
muutamilla vaimennussuhteen  $\zeta$  arvoilla. Kun  $\zeta > \frac{1}{4}\sqrt{2} \approx 0,3535$  käyrillä ei ole ääriarvoja eli  $T_n$  kasvaa koko ajan, kun  $r \rightarrow \infty$ . Arvoilla  $0 < \zeta < 0,3535$  käyrillä on sekä minimi että maksimi ja kaikki minimit ovat pienempiä kuin 2 mutta suurempia kuin 1. Rajatapauksessa  $\zeta = 0$   $T_n \rightarrow 1$ , kun  $r \rightarrow \infty$ . Käyristä nähdään myös, että suurilla pyörimisnopeuksilla pienikin vaimennus on haitallista. Esimerkiksi arvolla  $\zeta = 0,25$  siirtyvä voima on kohdalla  $r = 4,5$  suurempi kuin resonanssikohtassa siirtyvä voima. Kuvasta 4.15 nähdään, että amplitudi  $X$  on suurilla pyörimisnopeuksilla pieni, jolloin myös jousen kautta siirtyvä voima on pieni. Voima siirtyy suurilla pyörimisnopeuksilla lähinnä vaimentimen kautta, koska nopeus on suuri, jolloin vaimennusvoima on suuri.

Alustaan siirtyvän maksimivoiman  $F_A$  lauseke (4.49) voidaan kirjoittaa myös vaihtoehtoiseen muotoon

$$F_A = m_0 e \Omega^2 \sqrt{\frac{1 + (2\zeta\Omega/\omega)^2}{[1 - (\Omega/\omega)^2]^2 + (2\zeta\Omega/\omega)^2}} = F_{\max} \sqrt{\frac{1 + (2\zeta r)^2}{(1 - r^2)^2 + (2\zeta r)^2}} \quad (4.51)$$

jossa  $F_{\max} = m_0 e \Omega^2$  on kulmanopeutta  $\Omega$  vastaavan pakkovoiman amplitudi. On selvää, että  $|F_A / F_{\max}| = T$ , jossa  $T$  on kuvan 4.12 siirtyvyys. Kuva 4.12 ei anna oikeaa yleiskuvaa siirtyvän voiman suuruudesta, koska myös  $F_{\max}$  kasvaa kulmanopeuden  $\Omega$  kasvaessa. Kuvasta 4.12 syntyy helposti väärä käsitys, että siirtyvä voima lähestyy nollaa kulmanopeuden  $\Omega$  kasvaessa, mikä ei tietenkään pidä paikkaansa.

### 4.3.3 Värähtelevä alusta



Kuva 4.17 Vaimennettu alustan värähtely.

Tarkastellaan pakkovärähtelyä, joka aiheutuu alustan harmonisesta liikkeestä, kun vaimennus on viskoosi. Laskentamalli on esitetty kuvassa 4.17. Siinä on jousi  $k$ , vaimennin  $c$ , massa  $m$  sekä funktion  $u(t) = b \sin \Omega t$  mukaisesti liikkuva alusta. Koordinaatti  $u$  ilmaisee alustan absoluuttisen aseman ja koordinaatti  $x$  massan absoluuttisen aseman.

Systemin liikeyhtälöksi saadaan vapaakappalekuvan 4.17 (b) avulla

$$\uparrow k(x + \Delta - u) - mg + c(\dot{x} - \dot{u}) = -m\ddot{x} \quad (4.52)$$

Ottamalla huomioon, että  $k\Delta = mg$  ja  $\dot{u} = b\Omega \cos \Omega t$ , saadaan liikeyhtälö muotoon

$$m\ddot{x} + c\dot{x} + kx = b(k\sin\Omega t + c\Omega \cos\Omega t) \quad (4.53)$$

Yhtälö (4.53) voidaan kirjoittaa trigonometrian kaavojen avulla muotoon

$$m\ddot{x} + c\dot{x} + kx = A \sin(\Omega t + \alpha) \quad (4.54)$$

jolloin vakioiden  $A$  ja  $\alpha$  lausekkeet ovat (todistus sivuutetaan)

$$A = b\sqrt{k^2 + (c\Omega)^2} \quad \text{ja} \quad \alpha = \arctan(c\Omega/k) \quad (4.55)$$

Yhtälön (4.54) pakkovärähtelyä vastaava yksityisratkaisu on muotoa

$$x_p = X \sin(\Omega t - \beta) \quad (4.56)$$

Vakiot  $X$  ja  $\beta$  voidaan laskea yhtälöparista, joka saadaan sijoittamalla yrite (4.56) liikeyhtälöön (4.54). Tulos on (todistus sivuutetaan)

$$X = \frac{b\sqrt{1 + \left(2\zeta\frac{\Omega}{\omega}\right)^2}}{\sqrt{\left(1 - \frac{\Omega^2}{\omega^2}\right)^2 + \left(2\zeta\frac{\Omega}{\omega}\right)^2}} \quad \beta = \arctan\left[\frac{2\zeta\frac{\Omega^3}{\omega^3}}{1 - \frac{\Omega^2}{\omega^2} + \left(2\zeta\frac{\Omega}{\omega}\right)^2}\right] \quad (4.57)$$

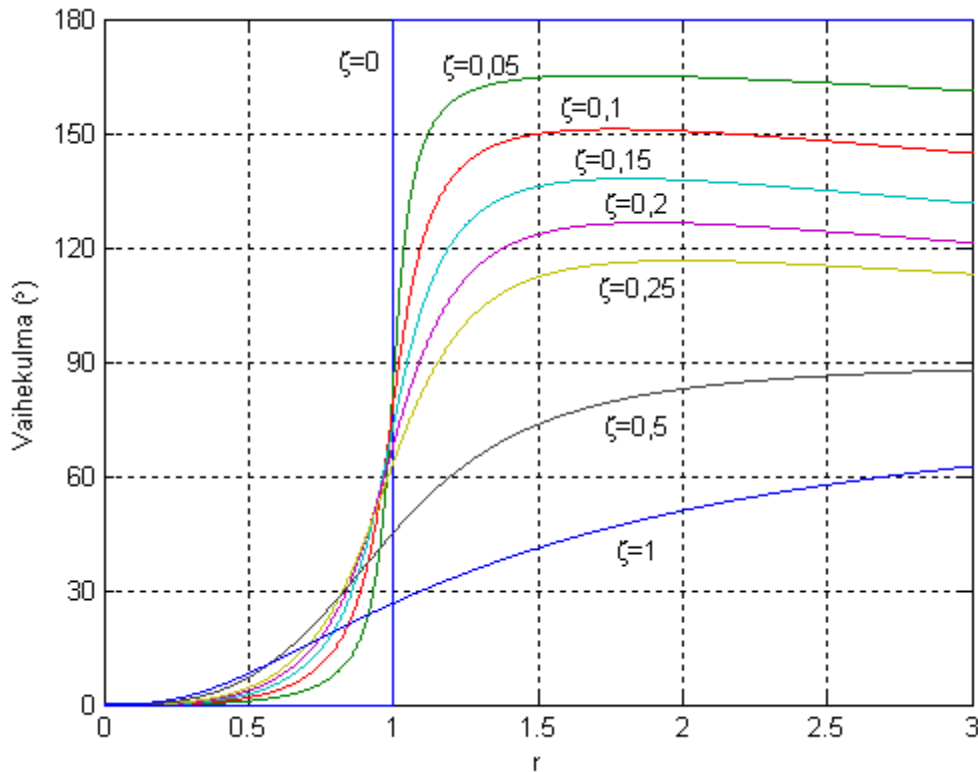
Kun merkitään jälleen  $r = \Omega/\omega$ , saadaan vahvistuskertoimelle  $M$  ja vaihekulmalle  $\beta$  seuraavat kaavat

$$M = \frac{X}{b} = \sqrt{\frac{1 + (2\zeta r)^2}{(1 - r^2)^2 + (2\zeta r)^2}} \quad \beta = \arctan\left[\frac{2\zeta r^3}{1 - r^2 + (2\zeta r)^2}\right] \quad (4.58)$$

Kaavan (4.58) vahvistuskerroin  $M$  on sama lauseke kuin kaavassa (4.43) oleva siirtävyys  $T$ , joten vahvistuskertoimen  $M$  arvot nähdään kuvasta 4.12. Vahvistuskerroin  $M$  ilmaisee, kuinka moninkertainen amplitudi  $X$  on alustan amplitudiin  $b$  verrattuna. Arvolla  $r = \sqrt{2}$  on  $M=1$  vaimennussuhteen  $\zeta$  arvosta riippumatta. Amplitudi  $X$  tulee pieneksi, kun  $r$  on suuri eli jousivakio  $k$  on pieni. Kuvassa 4.18 on esitetty vaihekulman  $\beta$  arvoja taajuussuhteen  $r$  funktiona muutamilla vaimennussuhteen  $\zeta$  arvolla.

Kuvan 4.17 systeemin käyttäytymistä voidaan tutkia myös suhteellisen koordinaatin  $z = x - u$  avulla.  $z$  ilmaisee massan  $m$  aseman alustaan  $B$  nähden. Sijoittamalla liikeyhtälöön (4.53)  $x = z + b\sin\Omega t$ ,  $\dot{x} = \dot{z} + b\Omega \cos\Omega t$  ja  $\ddot{x} = \ddot{z} - b\Omega^2 \sin\Omega t$  saadaan

$$m\ddot{z} + c\dot{z} + kz = mb\Omega^2 \sin\Omega t \quad (4.59)$$



Kuva 4.18 Vaihekulma.

Yhtälö (4.59) on samaa muotoa kuin roottoriliikeyhtälö (4.44), kertoimen  $m_0 e$  paikalla on tässä  $mb$ . Vahvistuskertoimelle  $M = Z/b$  pätee näin ollen

$$M = \frac{Z}{b} = \frac{r^2}{\sqrt{(1-r^2)^2 + (2\zeta r)^2}} \quad (4.60)$$

ja sille voidaan käyttää kuvan 4.15 käyrästä.

Tarkastellaan siirtävyyttä kuvan 4.17 värähtelevän alustan tapauksessa. Nyt ollaan kiinnostuneita alustasta B massaan  $m$  siirtyvän voiman  $F_m(t)$  maksimiarvosta  $F_A$ . Vapaakappalekuvan 4.17 (b) sekä kaavojen (4.31), (4.32) ja (4.59) perusteella

$$F_m(t) = k(x_p - u) + c(\dot{x}_p - \dot{u}) = kz_p + c\dot{z}_p = kZ \sin(\Omega t - \phi) - c\Omega Z \cos(\Omega t - \phi) \quad (4.61)$$

Voidaan helposti todistaa, että voiman  $F_m(t)$  maksimiarvo on

$$F_M = \sqrt{(kZ)^2 + (c\Omega Z)^2} = kZ \sqrt{1 + (2\zeta\Omega/\omega)^2} \quad (4.62)$$

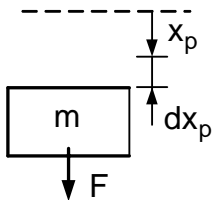
jossa amplitudi  $Z$  saadaan kaavasta (4.60). Alustan maksimi siirtymää vastaava jousivoima on  $F_K = kb$ . Siirtävyydeksi  $T_K = |F_M/F_K|$  saadaan näin ollen kaava

$$T_K = \left| \frac{F_M}{F_K} \right| = r^2 \sqrt{\frac{1 + (2\zeta r)^2}{(1 - r^2)^2 + (2\zeta r)^2}} \quad (4.63)$$

joka on samaa muotoa kuin kaavan (4.50) siirtyvyys  $T_n$ , joten siirtyvyydelle  $T_K$  voidaan käyttää kuvan (4.16) käyrästä. Massaan kohdistuva voima saadaan pieneksi käyttämällä löysää jouta ja mahdollisimman pientä vaimennusta.

#### 4.4 Vaimennukseen kuluva energia

Mekaanisissa systeemeissä esiintyy aina vaimennusta, jonka johdosta systeemin mekaanista energiaa muuttuu esimerkiksi lämpöenergiaksi tai ääniaaltojen energiaksi. Vapaassa värähtelyssä vaimennus ilmenee amplitudin pienenemisenä. Pysyvässä pakkovärähtelyssä herätevoiman tekemä työ korvaa vaimennukseen kuluvan energian.



Kuva 4.19 Pakkovoima.

Tutkitaan aluksi kuvan 4.19 mukaista tilannetta, jossa harmoninen pakkovoima  $F(t) = F_0 \sin \Omega t$  vaikuttaa harmonista värähtelyä  $x_p = X \sin(\Omega t - \phi)$  suorittavaan massaan  $m$ . Kulma  $\phi$  on herätevoiman ja siirtymävasteen välinen vaiheero. Siirtymälisäyksen  $dx_p$  aikana voima tekee työn

$$dW = F dx_p = F_0 \sin \Omega t \cdot \Omega X \cos(\Omega t - \phi) \cdot dt \quad (4.64)$$

Yhden värähdysjakson aikana voima tekee työn

$$W = \int_0^{2\pi} F_0 X \sin \Omega t \cos(\Omega t - \phi) d(\Omega t) \quad (4.65)$$

Soveltamalla kosinin lausekkeessa (4.65) vähennyslaskukaavaa saadaan

$$W = F_0 X \cos \phi \int_0^{2\pi} \sin \Omega t \cos \Omega t d(\Omega t) + F_0 X \sin \phi \int_0^{2\pi} \sin^2 \Omega t d(\Omega t) \quad (4.66)$$

Edellä ensimmäisen termin integraali on nolla ja toisen termin integraalin arvo on  $\pi$ , joten jakson aikana tehty työ on

$$W = \pi F_0 X \sin \phi \quad (4.67)$$

Kaavasta (4.67) nähdään, että siirtymän kanssa samassa ( $\phi = 0^\circ$ ) tai vastakkaisessa vaiheessa ( $\phi = 180^\circ$ ) olevan pakkovoiman jakson aikana tekemä työ on nolla. Voima

tekee maksimityön, kun vaihekulma  $\phi = 90^\circ$  eli voima on samassa vaiheessa nopeuden kanssa.

Määritetään sitten viskoosin vaimennusvoiman  $F_d = c\dot{x}_p = c\Omega X \cos(\Omega t - \phi)$  yhden jakson aikana tekemä työ. Siirtymälisäyksen  $dx_p$  aikana voima tekee työn

$$dW_d = F_d dx_p = c\Omega X \cos(\Omega t - \phi) \cdot \Omega X \cos(\Omega t - \phi) \cdot dt \quad (4.68)$$

joten jakson aikana tehdyksi työksi tulee

$$W_d = c\Omega X^2 \int_0^{2\pi} \cos^2(\Omega t - \phi) d(\Omega t) = \pi c\Omega X^2 \quad (4.69)$$

Kaavasta (4.35) nähdään, että  $F_0 \sin\phi = c\Omega X$ . Sijoittamalla tämä kaavaan (4.67) saadaan tulos  $W = W_d$  eli pakkovoiman tekemä työ korvaa vaimennukseen kuluvan energian. Resonanssissa vaihekulma  $\phi = 90^\circ$  ja pakkovoiman tekemä työ on maksimissaan, jolloin myös vaimennuksessa kuluva energia on maksimissaan. Resonanssissa  $\Omega \approx \omega = \sqrt{k/m}$  ja lisäksi  $c = 2\zeta\sqrt{km}$ , joten kaavasta (4.69) tulee

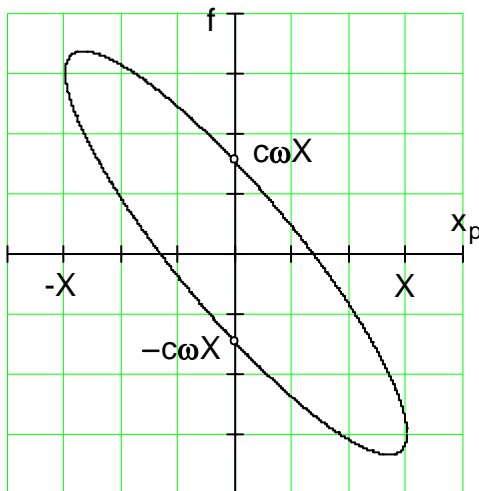
$$W_d = 2\zeta\pi k X^2 \quad (\Omega = \omega) \quad (4.70)$$

Vaimennukseen jakson aikana kuluvan energian lauseketta voidaan tarkastella graafisesti. Vapaakappalekuvan 4.10 (c) perusteella massa  $m$  vaikuttaa voima

$$f = kx_p + c\dot{x}_p = kx_p + c\Omega X \cos(\Omega t - \phi) \Rightarrow (f - kx_p)^2 = (c\Omega X)^2 [1 - \sin^2(\Omega t - \phi)]$$

joka voidaan kirjoittaa muotoon

$$\left(\frac{x_p}{X}\right)^2 + \left(\frac{f - kx_p}{c\Omega X}\right)^2 = 1 \quad (4.71)$$



Kuva 4.20 Hystereesisilmukka.

Yhtälö (4.71) esittää  $x_p$  -  $f$ -koordinaatistossa kuvan 4.20 mukaista ellipsiä, jota sanotaan hystereesisilmukaksi. Silmukan sisäpuolelle jäävä pinta-ala on yhtä suuri kuin jakson aikana vaimennukseen kulunut energia. Viskoosin vaimennuksen hystereesisilmukka on ellipsi. Jokaiseen vaimennusmalliin liittyy tietty hystereesisilmukan muoto, joka voi vaihdella suurestikin mallista riippuen. Kaikki hystereesisilmukat ovat kuitenkin suljettuja

ja niiden rajoittama pinta-ala kuvaa vaimennuksessa tapahtuvaa energiahäviötä.

Materiaalien ominaisuuksia tutkittaessa käytetään usein vaimennuksen mittana ominaisvaimennuskykyä  $\beta$  tai häviökerrointa  $\eta$ , jotka määritellään seuraavassa.  $\beta$  on energiahäviön  $W_d$  suhde kimmoenergian maksimiarvoon  $V_{\max}$ , josta seuraa resonanssitapaukselle

$$\beta = \frac{W_d}{V_{\max}} = \frac{\pi c \omega X^2}{\frac{1}{2} k X^2} = \frac{2 \pi c}{m \omega} = 4 \pi \zeta \approx 2 \delta \quad (4.72)$$

jossa  $\delta$  on logaritminen dekrementti. Häviökerroin on  $\eta = \beta / 2\pi$ .

## 4.5 Ekvivalentti viskoosi vaimennus

Kuten kuvasta 4.11 nähdään, vaimennus vaikuttaa värähtelevään systeemiin pääasiassa pienentämällä amplitudia resonanssin läheisyydessä. Viskoosin vaimennuksen tapauksessa todettiin kohdassa 4.3.1, että resonanssiamplitudille pätee likikaava

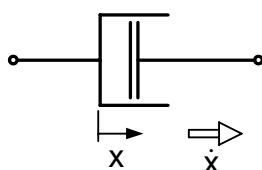
$$X_{\max} \approx X_{\omega} = \frac{F_0 / k}{2 \zeta} = \frac{F_0}{c \omega} \quad (4.73)$$

Muille vaimennusmalleille ei ole löydettävissä yhtä yksinkertaista kaavaa. Resonanssiamplitudia on kuitenkin mahdollista arvioida muillekin vaimennusmalleille ekvivalentin viskoosin vaimennusvakion  $c_{\text{ekv}}$  avulla. Vakio  $c_{\text{ekv}}$  löydetään merkitsemällä tarkasteltavaan vaimennusmalliin liittyvä energiahäviö  $W_d$  yhtä suureksi kuin vaimennusvakion  $c_{\text{ekv}}$  omaavan viskoosin vaimennuksen energiahäviö, joka on

$$W_d = \pi c_{\text{ekv}} \Omega X^2 \quad (4.74)$$

jolloin värähtelyliike on oletettu harmoniseksi. Oletus on usein voimassa vain likimääräisesti.

Tarkastellaan aluksi tilannetta, jossa vaimennusvoima on verrannollinen nopeuden neliöön. Tällöin vaimennusvoima on muotoa



Kuva 4.21 Vaimennusmalli.

$$F_d = \pm a \dot{x}^2 \quad (4.75)$$

jossa  $a$  on vakio sekä plusmerkki vastaa tapausta  $\dot{x} > 0$  ja miinusmerkki tapausta  $\dot{x} \leq 0$ . Tällaista vaimennusmallia voidaan käyttää nesteessä tai kaasussa värähtelevälle kappaleelle. Laskentamalleissa nopeuden neliöön verrannollinen vaimennus esitetään tavallisesti kuvan 4.21

mukaisella vaimennuselementillä. Oletetaan värähtelyliike harmoniseksi  $x_p = X \sin(\Omega t - \phi)$ , jolloin  $dx_p = \Omega X \cos(\Omega t - \phi) dt$  ja  $\dot{x}_p = \Omega X \cos(\Omega t - \phi)$ . Lisäksi resonanssissa on likimain  $\Omega = \omega$ ,  $\phi = \pi/2$  ja  $X = X_\omega$ . Energiahäviö jakson aikana on

$$W_d = 2 \cdot \int_0^\pi a [\omega X_n \cos(\omega t - \pi/2)]^2 \omega X_n \cos(\omega t - \pi/2) dt \Rightarrow$$

$$W_d = 2 a \omega^2 X_n^3 \int_0^\pi \cos^3(\omega t - \pi/2) d(\omega t) = \frac{8}{3} a \omega^2 X_\omega^3$$

Kaavan (4.74) perusteella voidaan kirjoittaa

$$\frac{8}{3} a \omega^2 X_\omega^3 = \pi c_{\text{ekv}} \omega X_\omega^2 \Rightarrow c_{\text{ekv}} = \frac{8}{3\pi} a \omega X_\omega$$

$$\Rightarrow X_{\text{max}} \approx X_\omega = \sqrt{\frac{3\pi F_0}{8a\omega^2}} \quad (4.76)$$

Ekvivalenttia viskoosia vaimennusta voidaan käyttää myös amplitudin  $X$  ja vaihekulman  $\phi$  approksimoimiseen koko taajuusalueella. Tarkastellaan esimerkkinä kitkavaimennusta. Oletetaan, että harmonista pakkovoimaherätettä vastaa harmoninen siirtymävaste myös kitkavaimennuksella. Vaimennusvoima  $F_d = \mu N$  tekee jakson neljänneksen aikana työn  $\mu N X$ , jossa  $X$  on amplitudi. Kaavan (4.59) perusteella saadaan tulos

$$W_d = 4\mu N X = \pi c_{\text{ekv}} \Omega X^2 \Rightarrow c_{\text{ekv}} = \frac{4\mu N}{\pi \Omega X} \quad (4.77)$$

$$\Rightarrow \zeta_{\text{ekv}} = \frac{c_{\text{ekv}}}{c_k} = \frac{4\mu N}{\pi \Omega X} \frac{1}{2m\omega} \Rightarrow 2\zeta_{\text{ekv}} \frac{\Omega}{\omega} = \frac{4\mu N}{\pi k X}$$

Kun edellä kirjoitettu tulos sijoitetaan kaavoihin (4.36), seuraa

$$\frac{X}{F_0/k} = \frac{1}{\sqrt{(1-r^2)^2 + \left(\frac{4\mu N}{\pi k X}\right)^2}} \quad \phi = \arctan \left( \frac{\frac{4\mu N}{\pi k X}}{1-r^2} \right)$$

Ratkaisemalla näistä  $X$  ja  $\phi$  saadaan kaavat



$$M = \frac{X}{F_0/k} = \frac{\sqrt{1 - \left(\frac{4\mu N}{\pi F_0}\right)^2}}{1-r^2} \quad \phi = \arctan \left[ \frac{\pm \frac{4\mu N}{\pi F_0}}{\sqrt{1 - \left(\frac{4\mu N}{\pi F_0}\right)^2}} \right] \quad (4.78)$$

Kaavat (4.78) ovat voimassa vain, jos neliöjuuren alla oleva termi on positiivinen eli  $4\mu N/(\pi F_0) < 1$ . Nähdään myös, että  $M \rightarrow \infty$ , kun  $\Omega \rightarrow \omega$ . Vaihekulman  $\phi$  kaavassa pätee plusmerkki, kun  $r < 1$ , mutta miinusmerkki, kun  $r > 1$ .  $\phi$  on epäjatkuva resonanssikohtassa.